

Schémas VF pour les équations elliptique en dimension  $d = 1, 2, 3$

problème modèle :

$$\left| \begin{array}{l} -\Delta u = f \quad \text{sur } \Omega \\ u(x) = 0 \quad \forall x \in \partial\Omega \end{array} \right.$$

polytope borné

segment si  $d = 1$   
 polygone si  $d = 2$   
 polyèdre si  $d = 3$

Espace des solutions :

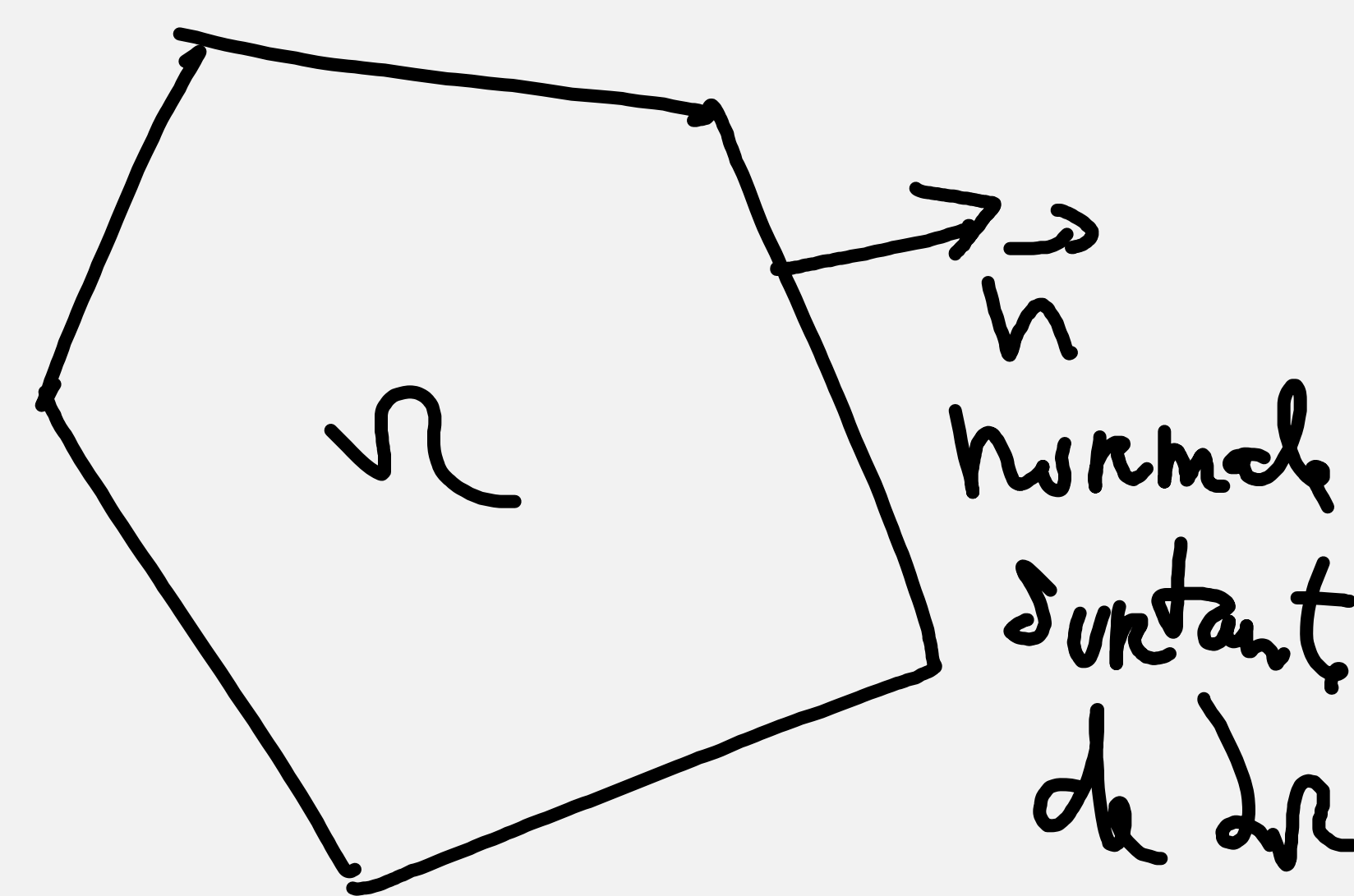
$$H_0^1(\Omega) = \left\{ v \in L^2(\Omega) \text{ t.q. } \int_{\Omega} |\nabla u|^2(x) dx < +\infty \text{ et } v = 0 \text{ sur } \partial\Omega \right\}$$

Formulation variationnelle : fonction test  $v \in H_0^1(\Omega)$

$$(-\Delta u)v = +\text{Div}(-\nabla u v) + \nabla u \cdot \nabla v$$

formule de Stokes :

$$\vec{F} : \Omega \rightarrow \mathbb{R}^d \quad \int_{\Omega} \text{div}(\vec{F}(x)) dx = \int_{\partial\Omega} \vec{F}(x) \cdot \vec{n} d\sigma(x)$$



$$\int_{\Omega} -\Delta u \, v \, dx = \int_{\Omega} (\operatorname{div}(-\nabla u \, v) + \nabla u \cdot \nabla v) \, dx = \int_{\partial\Omega} \underbrace{(-\nabla u \cdot \vec{n})}_{=0} v \, d\sigma(x) + \int_{\Omega} \nabla u \cdot \nabla v \, dx$$

$\text{car } v \in H_0^1(\Omega)$

$$= \int_{\Omega} \nabla u \cdot \nabla v \, dx$$

(V) | On obtient donc la formulation variationnelle :

$$u \in H_0^1(\Omega) \text{ t.q. } \int_{\Omega} \nabla u \cdot \nabla v \, dx = \int_{\Omega} f \, v \, dx \quad \forall v \in H_0^1(\Omega)$$

Proposition : par Lax-Milgram, il existe une solution unique  $u \in H_0^1(\Omega)$  de (V)

Inégalité de Poincaré :  $\|v\|_{L^2(\Omega)} \leq \operatorname{diam}(\Omega) \|v\|_{H_0^1(\Omega)} \quad \forall v \in H_0^1(\Omega)$       $\operatorname{diam}(\Omega) = \max_{x,y \in \Omega} |y-x|$

avec  $\|v\|_{H_0^1(\Omega)} = \sqrt{\int_{\Omega} |\nabla v|^2 \, dx} = \sqrt{\langle \nabla v, \nabla v \rangle_{H_0^1}}$

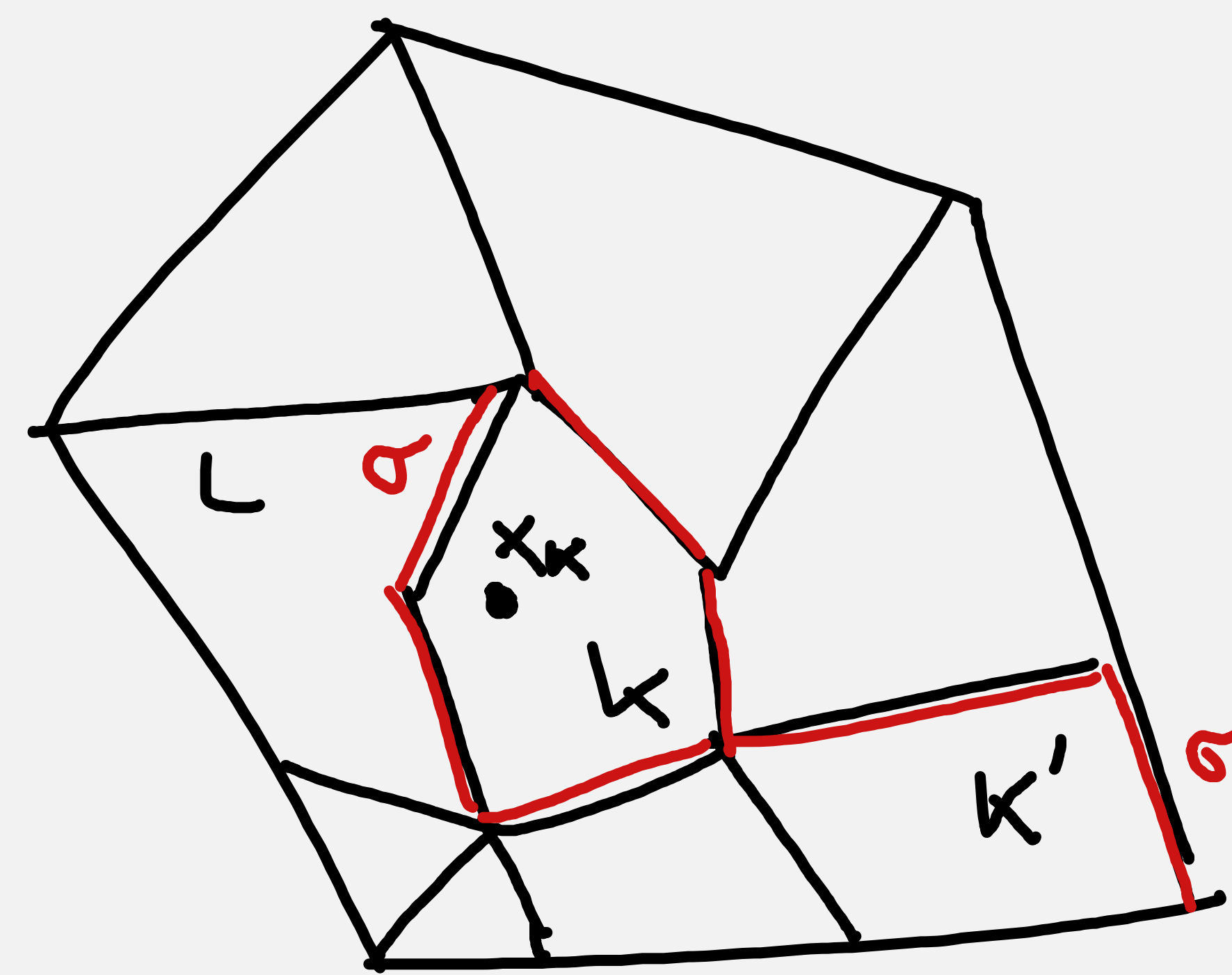
$\langle u, v \rangle_{H_0^1} = \int_{\Omega} \nabla u \cdot \nabla v \, dx$

Estimation a priori:  $v = u \Rightarrow \|u\|_{H_0^1}^2 = \int_{\Omega} f u \, dx \leq \|f\|_{L^2} \|u\|_{L^2}$   
 $\leq \text{diam}(\Omega) \|u\|_{H_0^1} \|f\|_{L^2}$   
 $\Rightarrow \|u\|_{H_0^1} \leq \text{diam}(\Omega) \|f\|_{L^2}$

---

Discretisation du domaine  $\Omega$ :

- on partitionne le domaine en mailles  $K \in \mathcal{M}_h$
- on note  $x_K \in K$  "le centre de maille"
- On définit l'ensemble de faces  $\sigma \in \mathcal{F}_h$  du maillage qui sont la intersection  $\partial K \cap \partial L$  de mailles voisines contraintes à être planes.



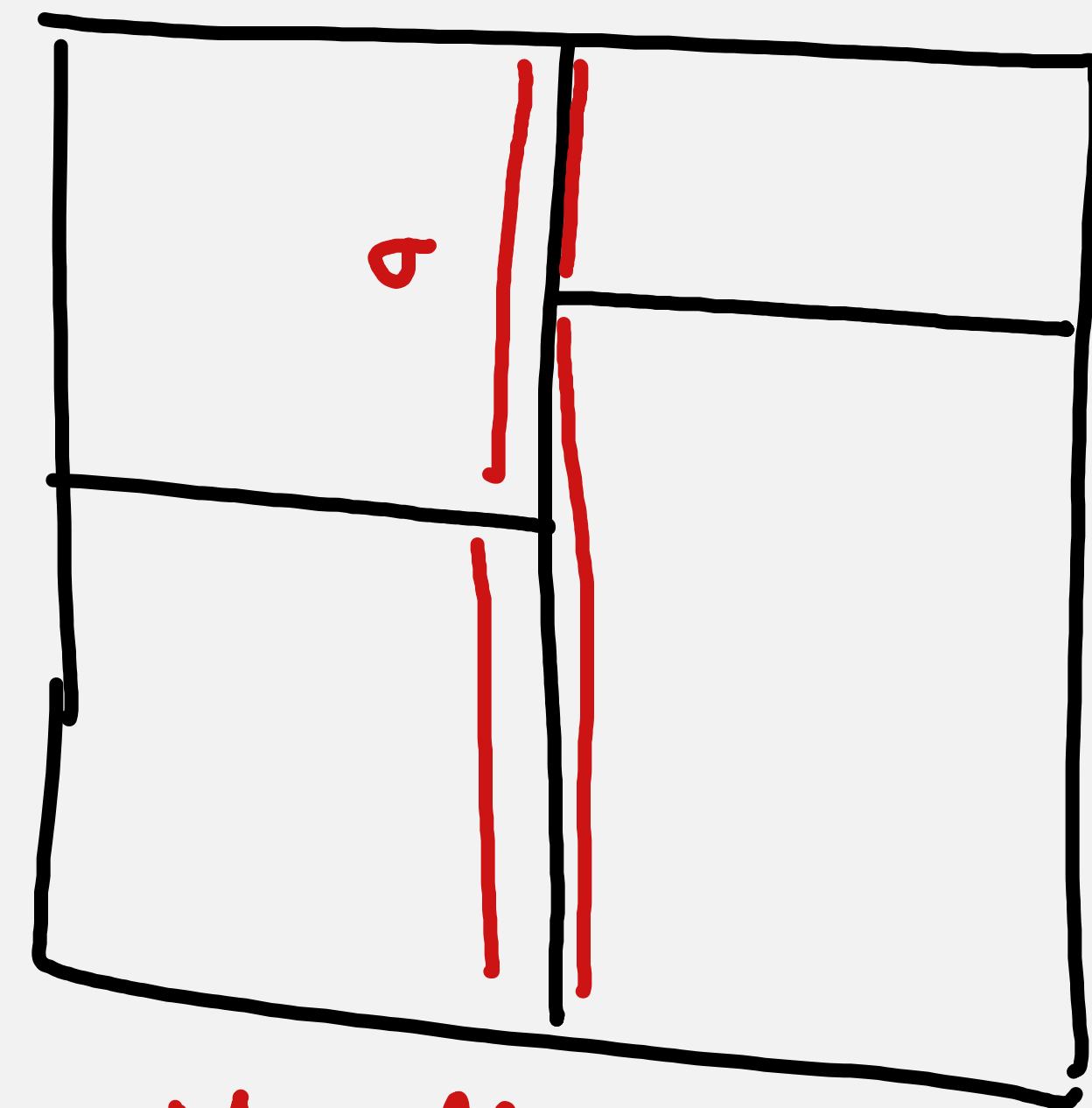


• on note  $M_\sigma = \{K \in \mathcal{M}_h \mid \sigma \cap \partial K \text{ est de mesure surfacique } (d-1)^{\text{dimension}} \text{ non nulle}\}$

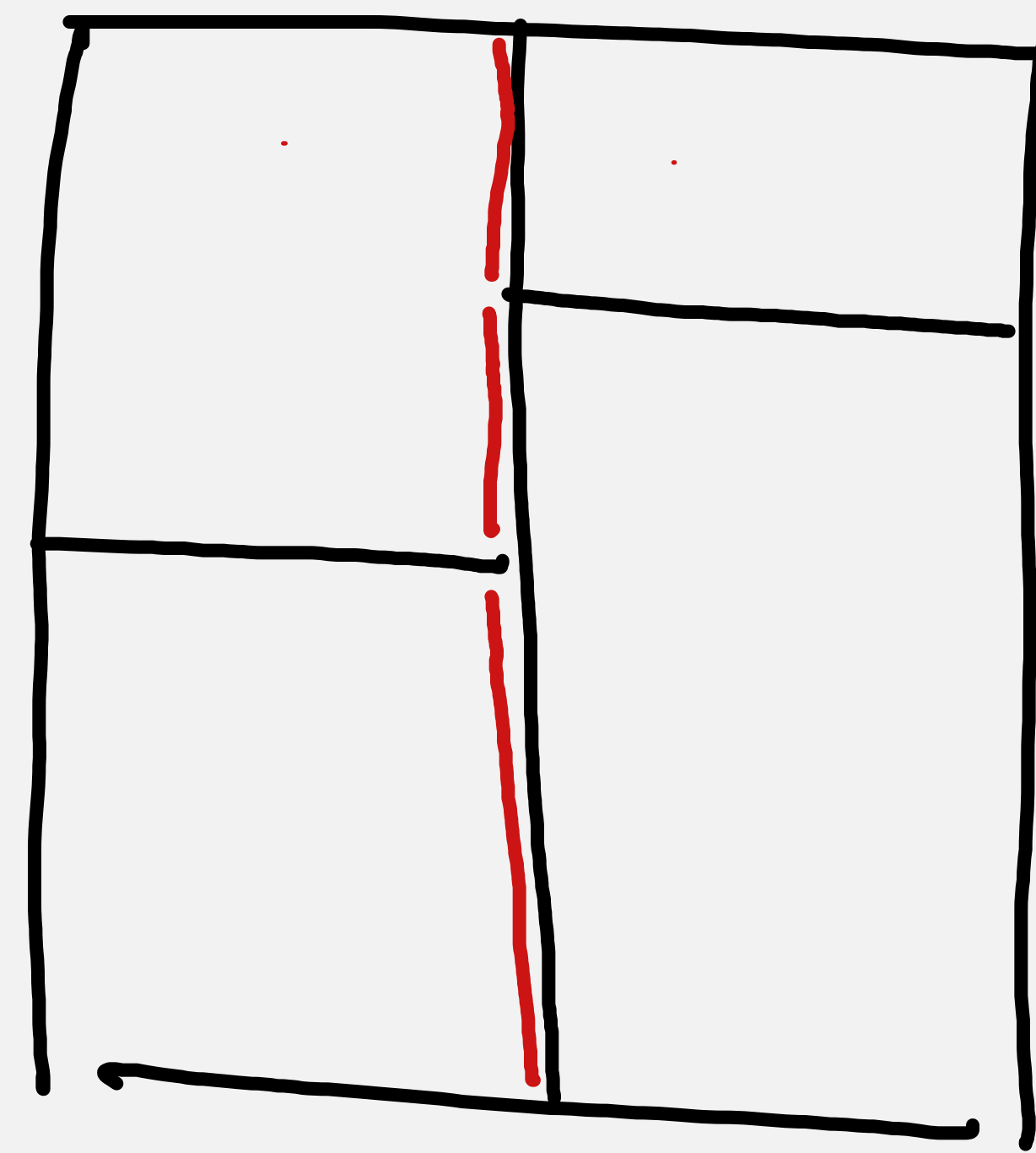
• on suppose que soit  $M_\sigma = \{K, L\} \rightarrow \sigma$  est une face intérieure  
 soit  $M_\sigma = \{K\} \rightarrow \sigma$  est une face de bord

Contre exemple :

mauvaise  
définition des  
faces.



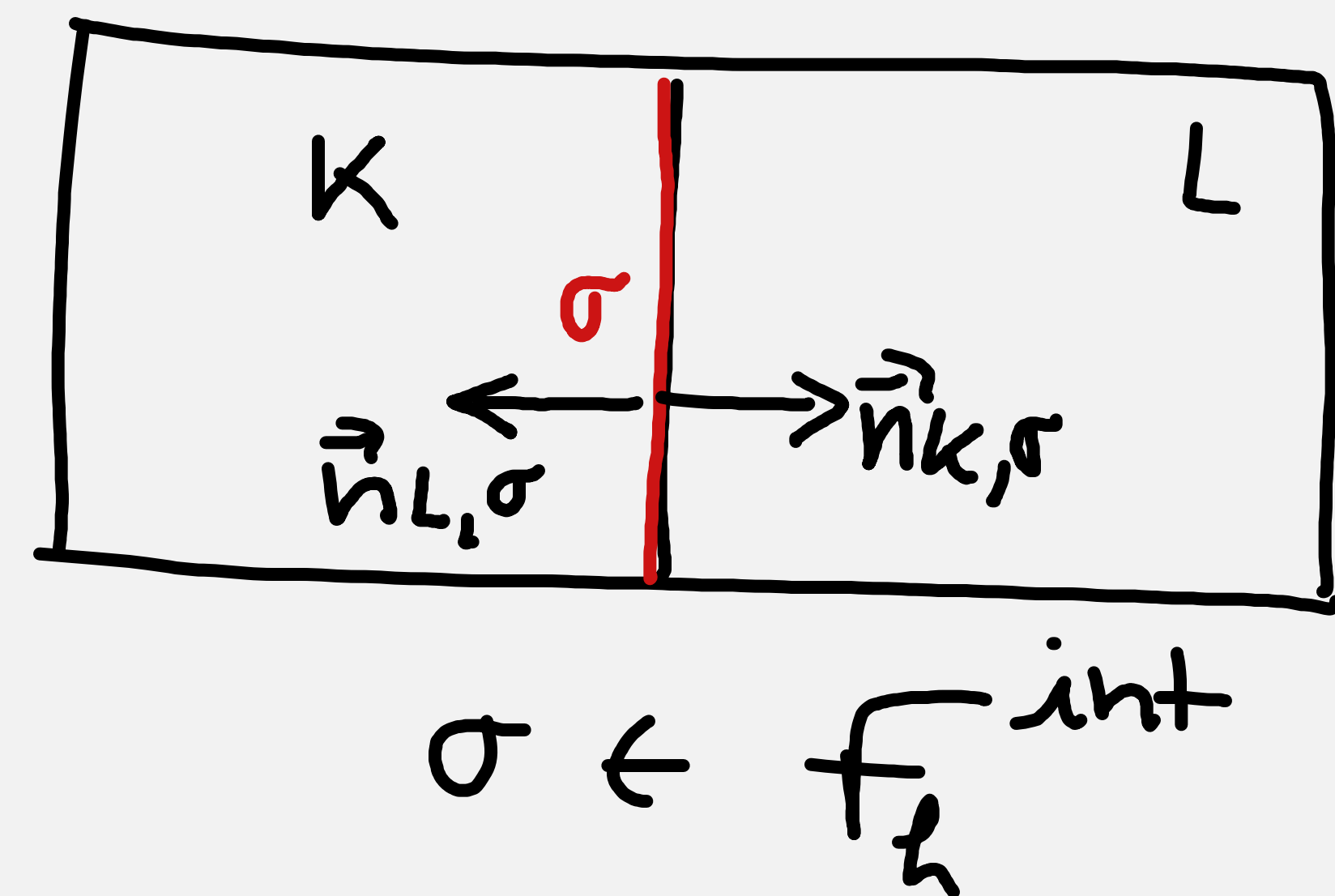
Maillage non  
conforme interdit



$$\begin{aligned} F_h^{\text{int}} &= \left\{ \sigma \in F_h \mid M_\sigma = \{K, L\} \right\} \\ F_h^{\text{ext}} &= \left\{ \sigma \in F_h \mid M_\sigma = \{K\} \right\} \end{aligned}$$

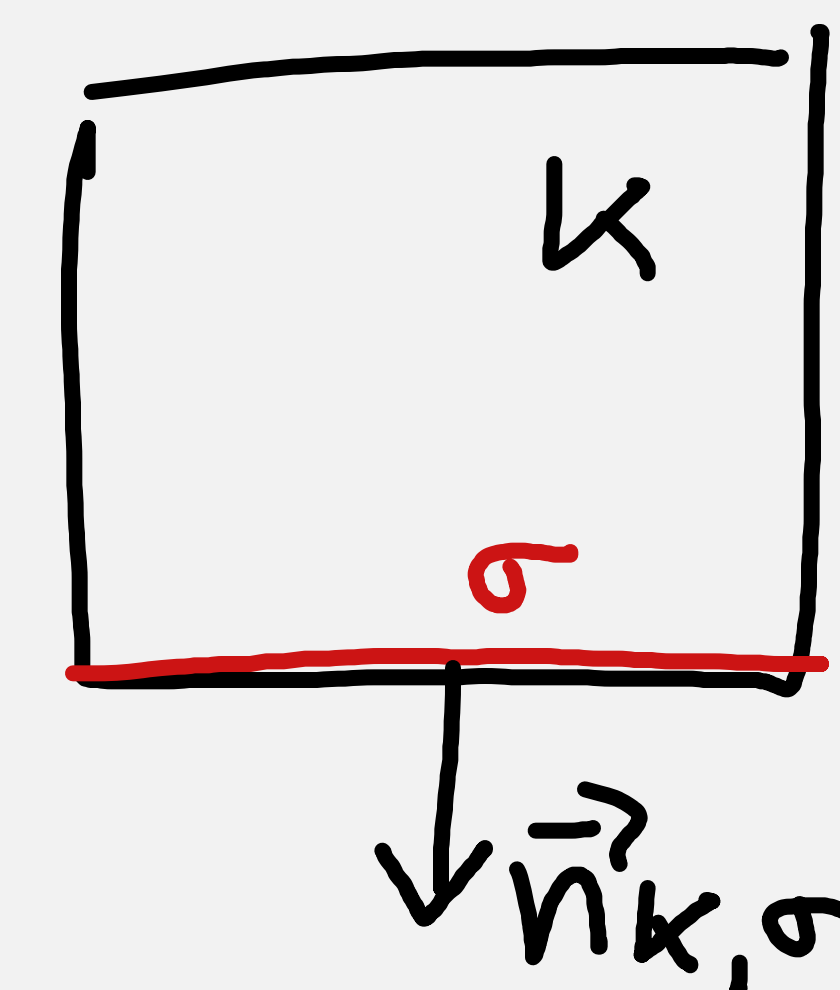
on notera  $\sigma = K|L$  pour  $\sigma \in F_h^{\text{int}}$   
 on notera  $\sigma = K|$  pour  $\sigma \in F_h^{\text{ext}}$

- normales aux faces :



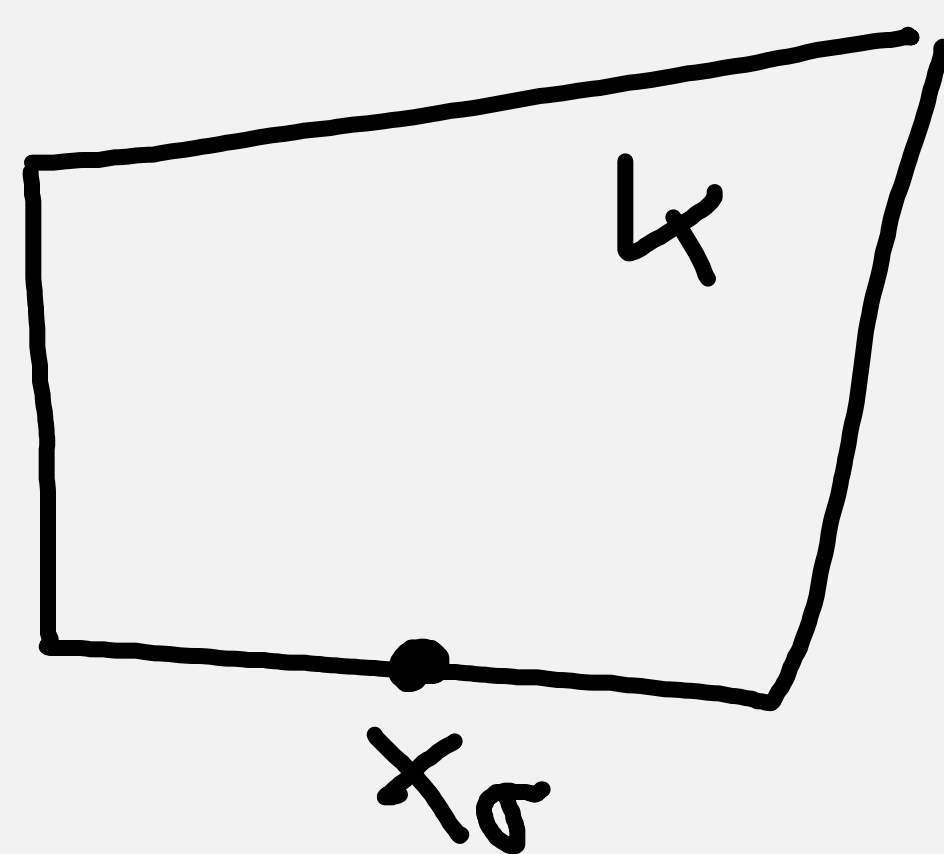
$$\vec{n}_{K,\sigma} + \vec{n}_{L,\sigma} = 0$$

$\downarrow$  sortante de K       $\downarrow$  sortante de L



$$\sigma \in F_h^{ext}$$

normale sortante de K



$x_\sigma, \sigma \in F_h^{ext}$  est "le centre de face"

- on note  $|K|$  le volume de la maille
- on note  $|\sigma|$  la surface de la face | "surface = mesure en dimension d-1"
- $h = \max_{K \in M_h} (\text{diam}(K))$

- Discretisation des fonctions :  $V_h = \left\{ v_h \in L^2(\Omega) \text{ tq. } v_h(x) = v_K \quad \forall x \in K \right\}$   
 $\forall K \in \mathcal{M}_h$

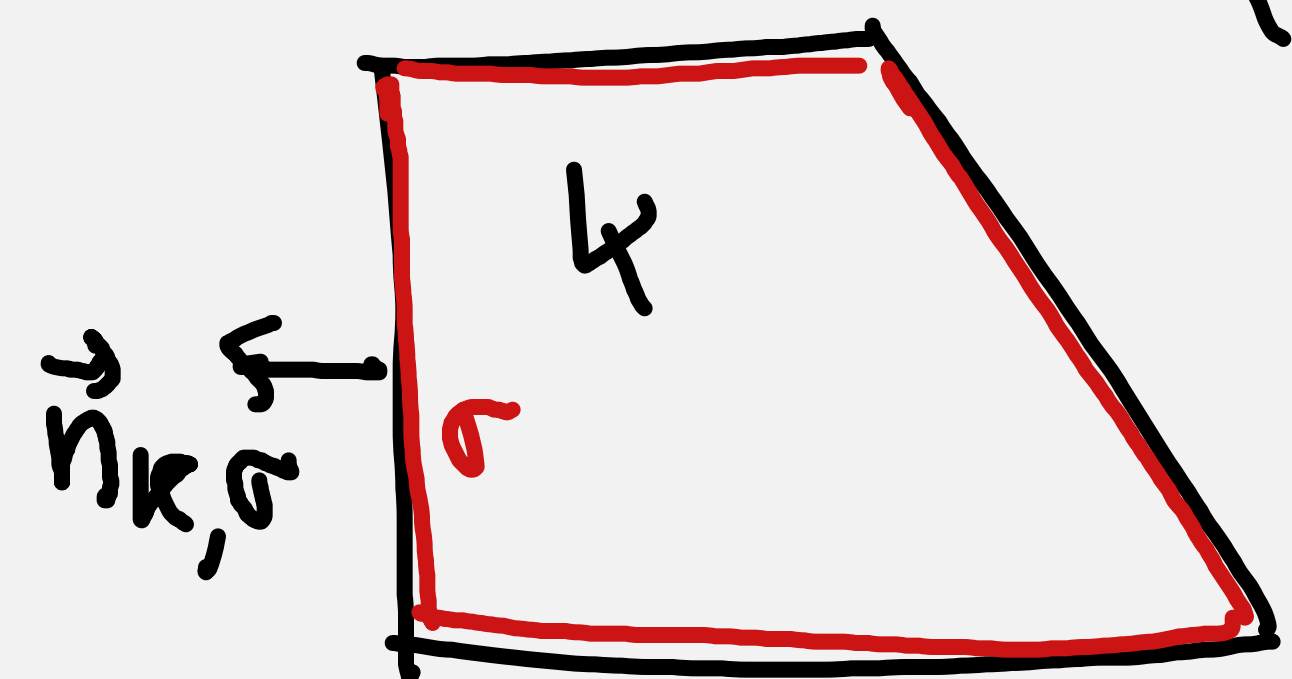
$C_0$  discretisation non conforme car  $V_h \not\subset H_0^1(\Omega)$

- Discretisation de l'équation :

→ on écrit l'équation sous forme conservative :  $\text{Div}(-\nabla u) = f$   
 $-\nabla u$  est le vecteur flux

→ on intègre l'équation dans la maille et on applique la formule de Stokes

$$\int_K f \, dx = \int_K \text{div}(-\nabla u) \, dx = \int_{\partial K} -\nabla u \cdot \vec{n}_K(x) \, d\sigma(x) = \sum_{\sigma \in \bar{F}_K} \underbrace{\int_{\sigma} -\nabla u \cdot \vec{n}_{K,\sigma} \, d\sigma(x)}_{\text{flux noté } \bar{F}_{K\sigma}(u)}$$

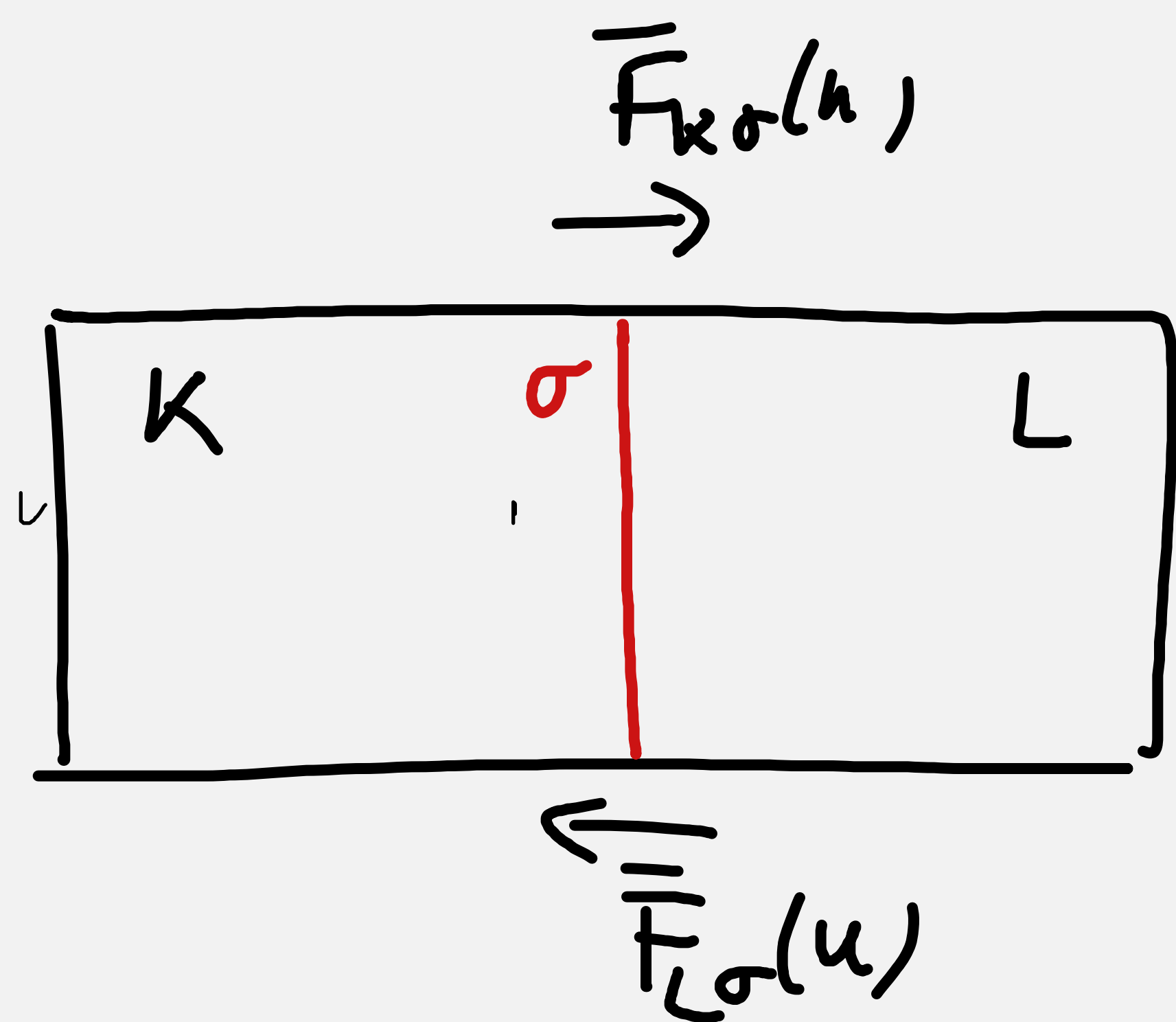


où  $\bar{F}_K$  est l'ensemble des faces de  $K$

flux noté  $\bar{F}_{K\sigma}(u)$   
 sur la face  $\sigma$  sortant de  $K$ .



$$\underline{\sigma \in F_e^{\text{int}}}$$

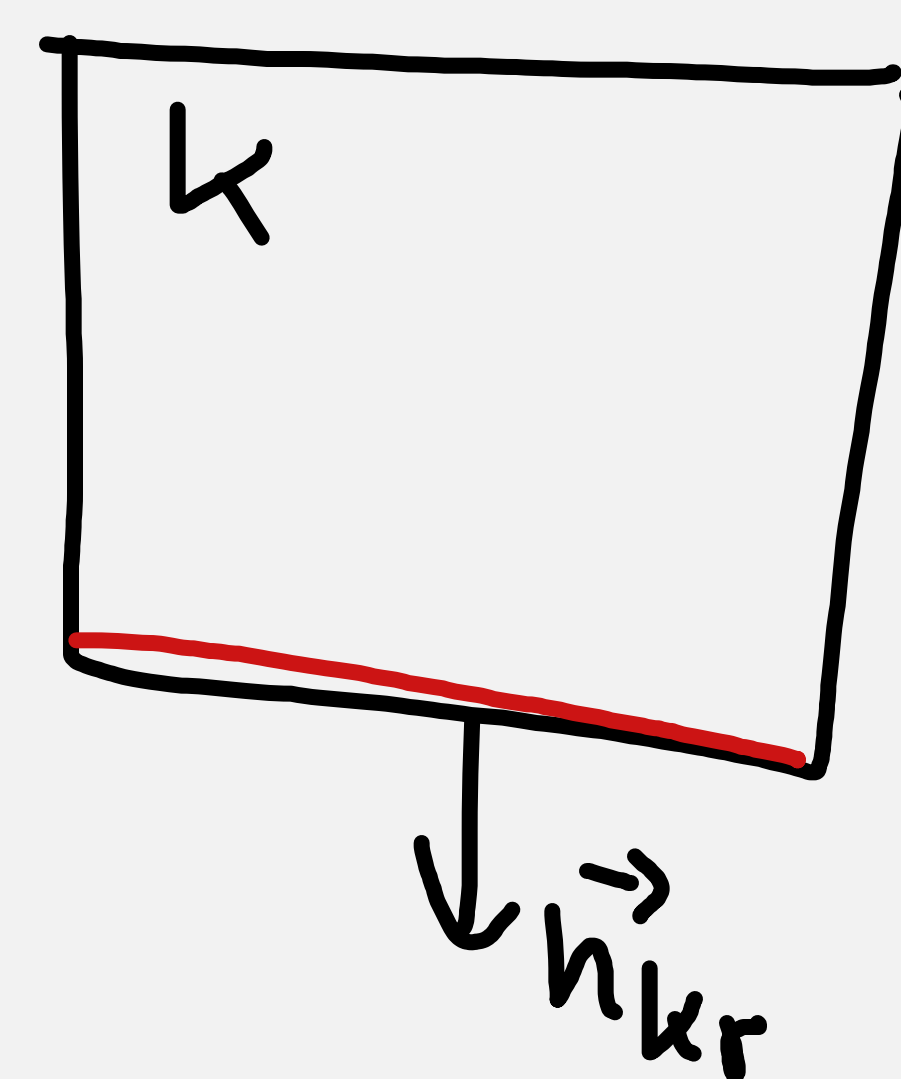


$$\left| \begin{aligned} \overline{F}_{K\sigma}(u) &= \int_{\sigma} -\nabla u \cdot \vec{n}_{K\sigma} d\sigma(x) \\ \overline{F}_{L\sigma}(u) &= \int_{\sigma} -\nabla u \cdot \vec{n}_{L\sigma} d\sigma(x) \end{aligned} \right.$$

on la conservativité du flux  $\boxed{\overline{F}_{K\sigma}(u) + \overline{F}_{L\sigma}(u) = 0}$

$$\int_{\sigma} -\nabla u \cdot \vec{n}_{K\sigma} d\sigma(x) + \int_{\sigma} -\nabla u \cdot \vec{n}_{L\sigma} d\sigma(x) = \int_{\sigma} -\nabla u \cdot \overbrace{(\vec{n}_{K\sigma} + \vec{n}_{L\sigma})}^0 d\sigma = 0$$

$$\sigma \in F_e^{\text{ext}}$$

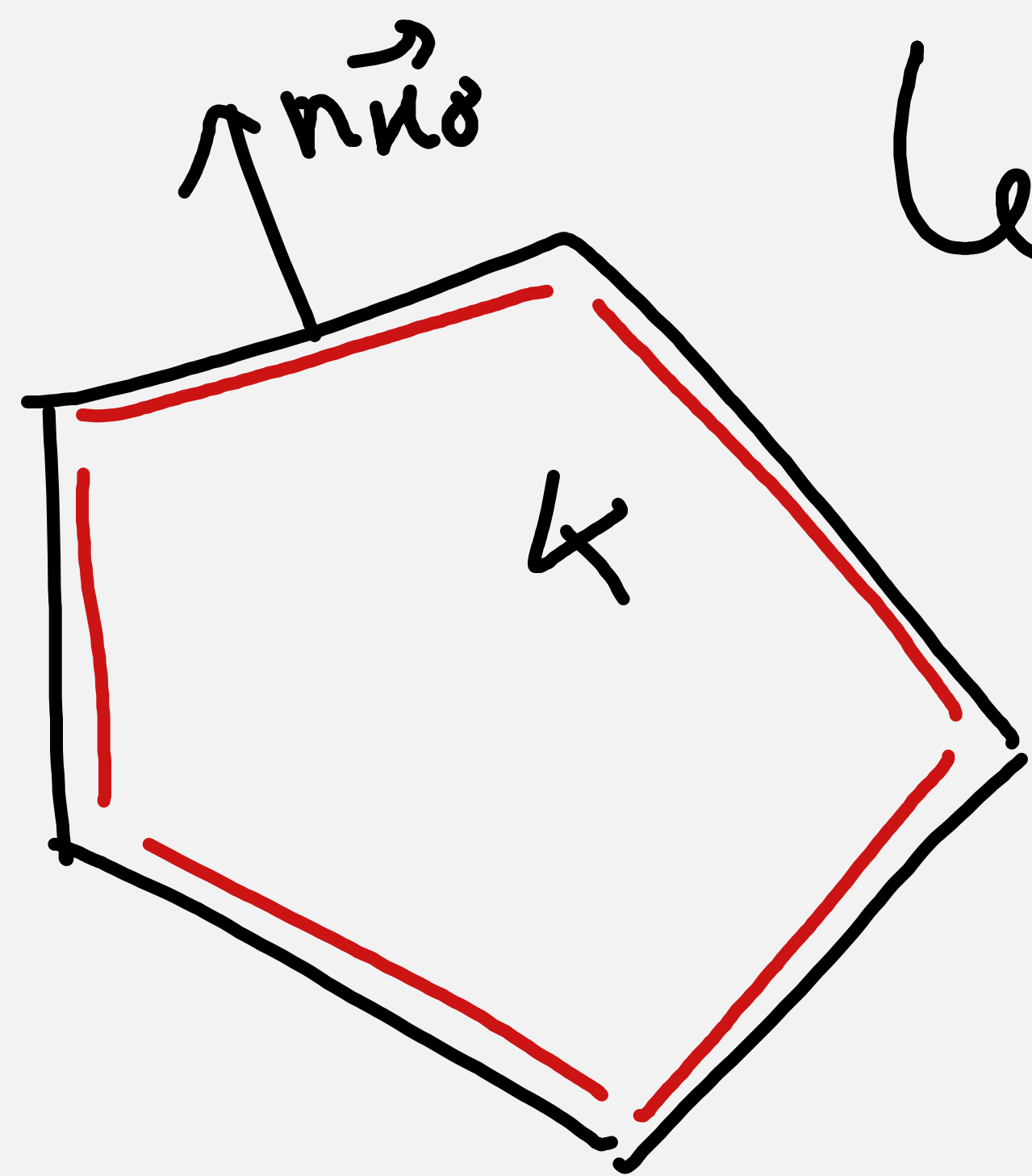


$$\overline{F}_{K\sigma}(u) = \int_{\sigma} -\nabla u \cdot \vec{n}_{K\sigma} d\sigma(x)$$

Equation de conservation dans la mantle :

$$\sum_{\sigma \in F_K} \overline{F}_{K\sigma}(u) = \int_K f dx \quad \text{avec} \quad \underline{\overline{F}_{K\sigma}(u) = \int_{\sigma} -\nabla u \cdot \vec{n}_{K\sigma} d\sigma(x)}$$

on est donc ramené à construire des flux numériques  $n \Delta t \leq \frac{\overline{F_{k\sigma}}(u_h)}{\dots}$



$$\sum_{\sigma \in F_K} \overline{F}_{K\sigma}(u_h) = \int_K f(x) dx \quad \underline{\forall K \in \mathcal{M}_h}$$

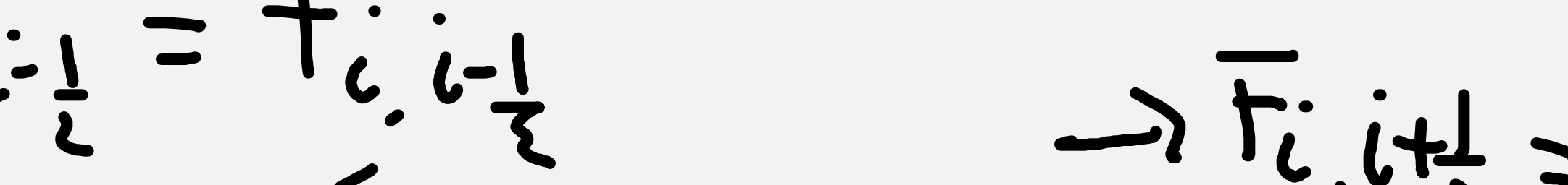
lien avec la dimension 1 :

$$\begin{array}{ccccc} \bar{T}_{i-\frac{1}{2}} & \rightarrow & w_i & \rightarrow & \bar{T}_{i+\frac{1}{2}} \\ | & & & & | \\ x_{i-\frac{1}{2}} & & & & x_{i+\frac{1}{2}} \end{array}$$

$$F_{i+\frac{1}{2}}(u_h) - F_{i-\frac{1}{2}}(u_h) = \int_{x_i} f(x) dx$$

$$\sqrt{\frac{F_{i+\frac{1}{2}}}{F_{i, i+\frac{1}{2}}}} + \sqrt{\frac{-F_{i-\frac{1}{2}}}{F_{i, i-\frac{1}{2}}}} = \int_{k_i} f dx$$

-  $F_{i-\frac{1}{2}} = \bar{F}_{i, i-\frac{1}{2}}$   $\rightarrow \bar{F}_{i, i+\frac{1}{2}} = + F_{i+\frac{1}{2}}$



The diagram shows a horizontal line representing a 1D grid. Two vertical tick marks divide the line into two segments. The left segment is labeled  $k_i$  and has a width indicated by a bracket below it labeled  $x_{i-\frac{1}{2}}$ . The right segment is labeled  $k_{i+1}$  and has a width indicated by a bracket below it labeled  $x_{i+\frac{1}{2}}$ . The interface between the two cells is marked with a vertical line. Above the left cell, the text  $- F_{i-\frac{1}{2}} = \bar{F}_{i, i-\frac{1}{2}}$  is written, with an arrow pointing from the interface into the cell. Above the right cell, the text  $\rightarrow \bar{F}_{i, i+\frac{1}{2}} = + F_{i+\frac{1}{2}}$  is written, with an arrow pointing from the interface out of the cell.



## propriétés de flux numériques $F_{K\sigma}(u_h)$

① flux linéaires par rapport à  $u_h + \underline{u_\sigma}$  aux bords

② Conservativité des flux  $F_{K\sigma}(u_h) + F_{L\sigma}(u_h) = 0 \quad \forall \sigma \in \overline{T_h}^{int}$   
 $\forall u_h \in V_h$

③ Consistance des flux

erreur de consistance:  $R_{K\sigma}(u) = \int_{\sigma} -\nabla u \cdot \vec{n}_{K\sigma} d\sigma(x) - F_{K\sigma}(I_h u)$

interpolant  $I_h : C^0(\bar{\Omega}) \rightarrow V_h$

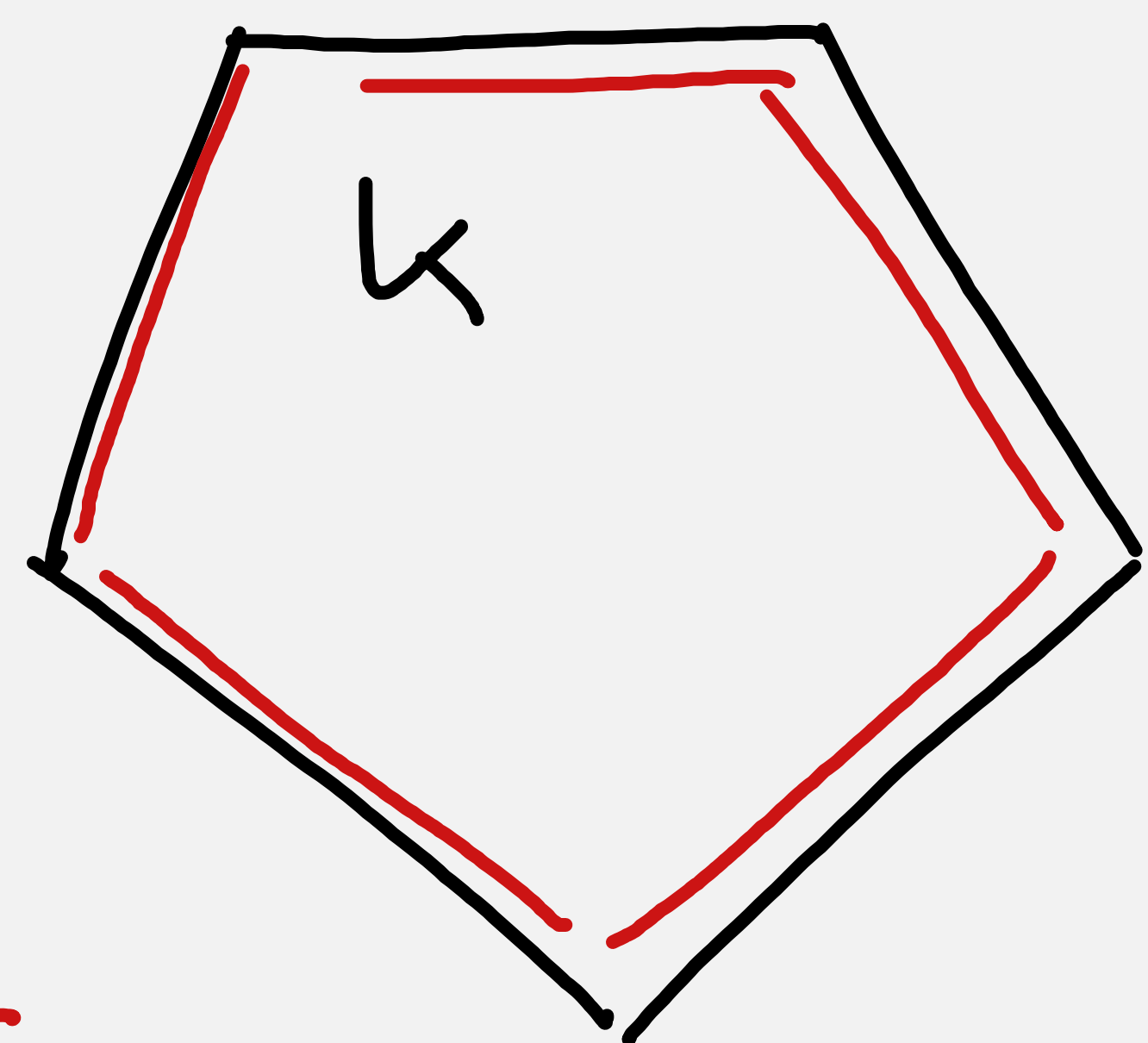
$$u \mapsto (I_h u)_K = u(x_K) \quad \forall K \in \mathcal{M}_h.$$

on dit le flux est consistant si  $|R_{K\sigma}(u)| \leq C(u) |\sigma| h \quad \forall u \in C^2(\bar{\Omega})$

④

Coacivité de flux:

$$a_h(u_h, v_h) = \sum_{K \in \mathcal{M}_h} \left( \sum_{\sigma \in F_K} F_{K\sigma}(u_h) \right) n_K$$



$F_K =$  ensemble des faces de  $K$ .

le schéma est dit coactif si  $\exists \| \cdot \|_{1,h}$  norme  $H'_0$  discrète  
et une constante  $\alpha$  indépendante  $h$  pour une famille  
de maillages  $\mathcal{T}_h$

$$a_h(u_h, u_h) \geq \alpha \|u_h\|_{1,h}^2 \quad \forall u_h \in V_h.$$

Proposition: si le flux satisfait la condition (1)  $\bar{a}(f)$  alors le schéma admet  
une solution unique  $u_h$  qui vérifie l'estimation a priori

$$\|u_h\|_{1,h} \leq \frac{1}{\alpha} \tilde{C}_P \|f\|_{L^2}$$

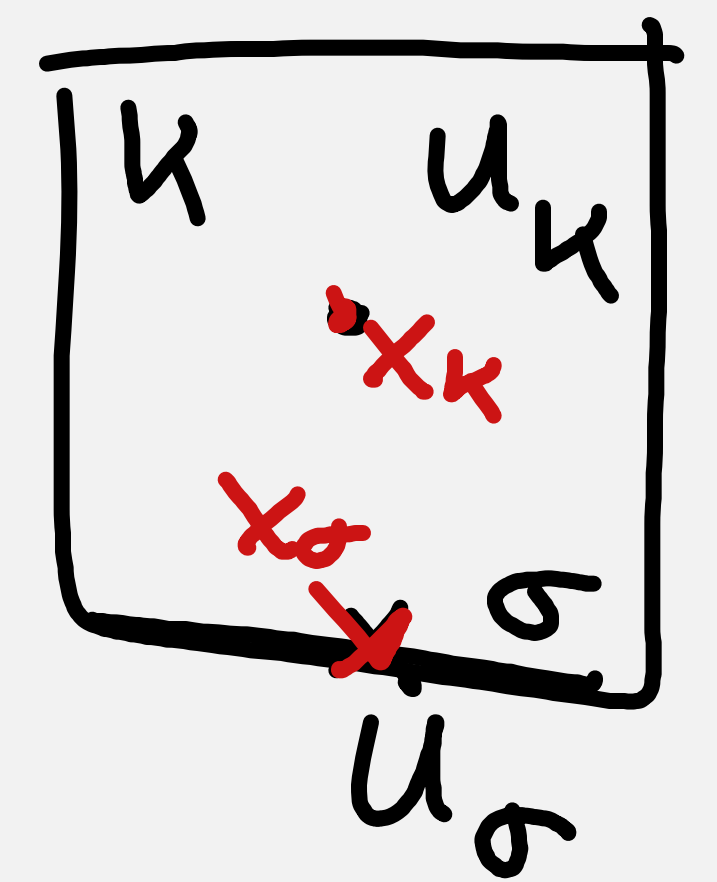
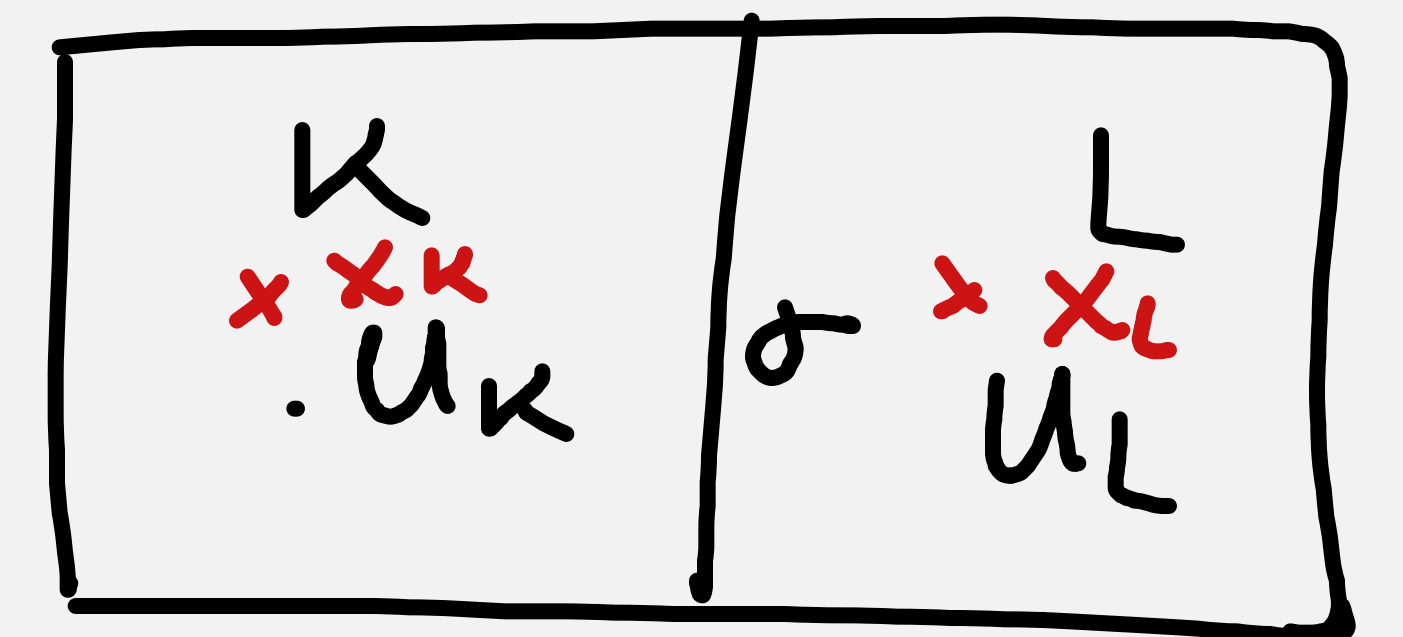
De plus si  $u \in C^2(\bar{\Omega})$  alors on a l'estimation d'erreur:

$$\|I_h u - u_h\|_{1,h} \leq \frac{1}{\alpha} C(u) h$$

Schéma Volume Fini deux points "TPFA"

par "Two-point Flux Approximation".

$$\overline{F}_{K\sigma}(u_h) = \begin{cases} |\sigma| \frac{u_K - u_L}{|x_K x_L|} & \forall \sigma = KL \in F_e^{\text{int}} \\ |\sigma| \frac{u_K - u_\sigma}{|x_K x_\sigma|} & \forall \sigma = KI \in F_e^{\text{ext}} \end{cases}$$



① flux linéaire  $\rightarrow$  OK

② Conservativité  $\overline{F}_{L\sigma}(u_h) = |\sigma| \frac{u_L - u_K}{|x_L x_K|} = -\overline{F}_{K\sigma}(u_h) \rightarrow$  OK



④ Coercivité

$$a_h(u_h, v_h) = \sum_{K \in \mathcal{M}_h} \sum_{\sigma \in F_K} F_{K\sigma}(u_h) v_\sigma$$

$$\begin{aligned} a_h(u_h, v_h) &= \sum_{\substack{\sigma = K|L \\ \in F_h^{\text{int}}}} F_{K\sigma}(u_h) (v_K - v_L) \\ &\quad + \sum_{\substack{\sigma = K|L \\ \in F_h^{\text{ext}}}} F_{K\sigma}(u_h) (v_K - 0) \end{aligned}$$

$$\begin{aligned} &= \sum_{\substack{\sigma \in F_h^{\text{int}} \\ \sigma = K|L}} \left( F_{K\sigma}(u_h) v_K + \underbrace{F_{L\sigma}(u_h) v_L}_{- F_{K\sigma}(u_h) v_K} \right) \\ &\quad + \sum_{\substack{\sigma \in F_h^{\text{ext}} \\ \sigma = K|L}} F_{K\sigma}(u_h) v_K \end{aligned}$$

$$a_h(u_h, v_h) = \sum_{\substack{\sigma = K|L \\ \in F_h^{\text{int}}}} \frac{|\sigma|}{|x_K x_L|} (u_K - u_L) (v_K - v_L) + \sum_{\substack{\sigma = K|L \\ \in F_h^{\text{ext}}}} \frac{|\sigma|}{|x_K x_\sigma|} (u_K - 0) (v_K - 0)$$

on définit  $\left\| u_h \right\|_{1,h} = \sqrt{a_h(u_h, u_h)} = \left( \sum_{\sigma = K|L} \frac{|\sigma|}{|x_K x_L|} (u_K - u_L)^2 + \sum_{\sigma = K|L} (u_K - 0)^2 \frac{|\sigma|}{|x_K x_\sigma|} \right)^{1/2}$

$\Rightarrow$  ok avec  $\underline{\alpha = 1}$

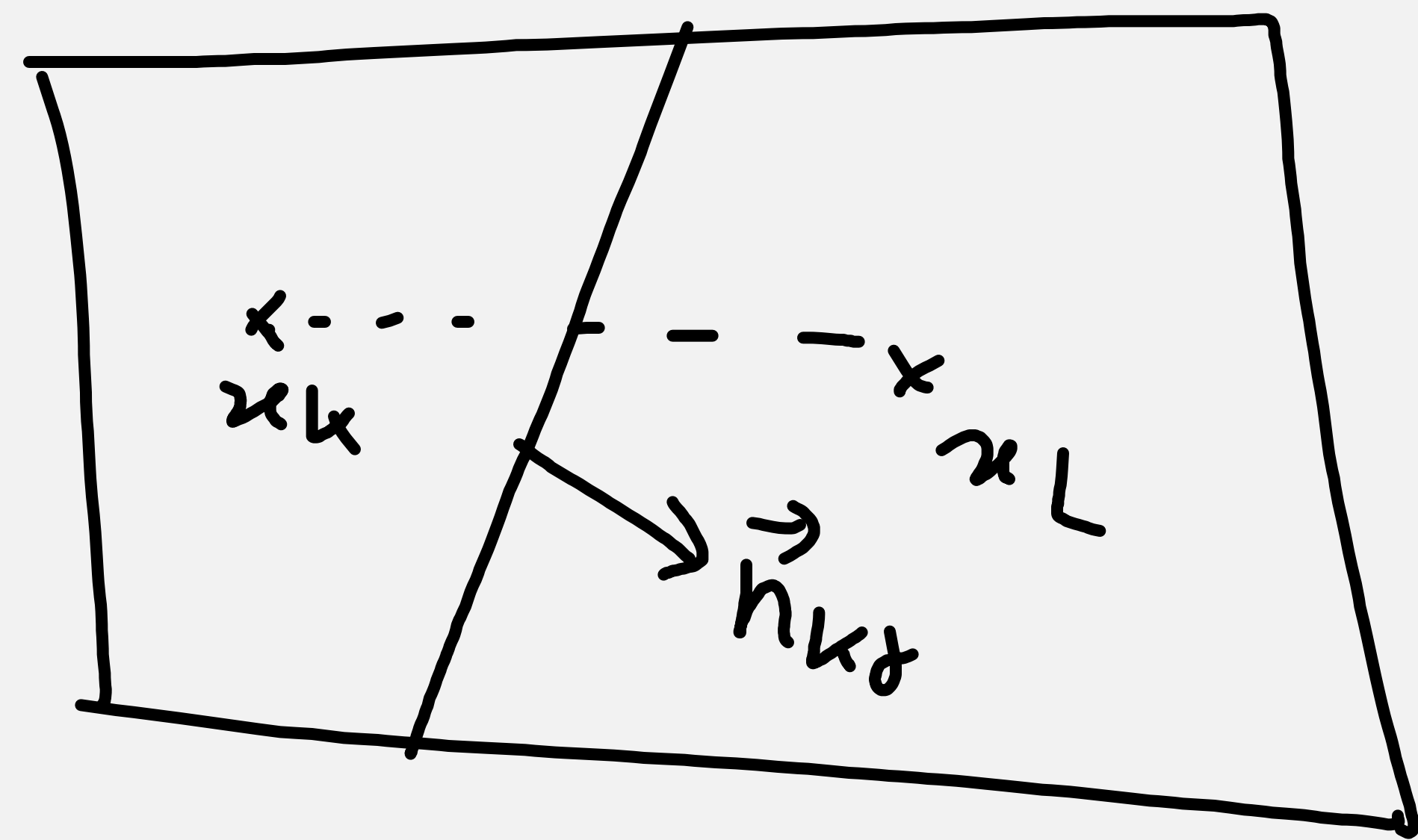
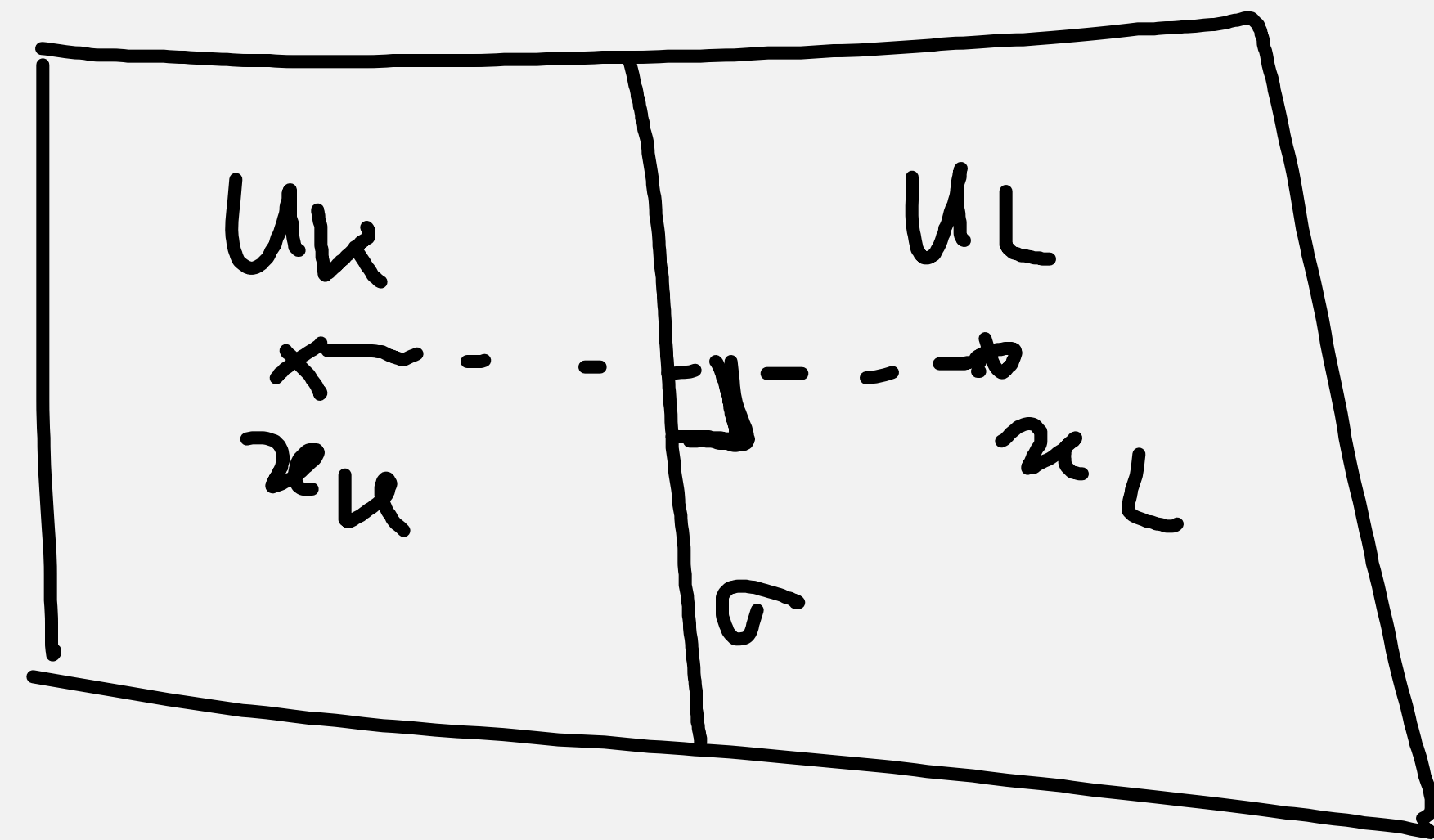
La norme  $\|\cdot\|_{1,h}$  vérifie une inégalité de Poincaré par

les « bons maillages » :  $\|u_h\|_h^2 \leq \tilde{C}_p \|u_h\|_{1,h}^2 \quad \forall u_h \in V_h$

③

$$R_{K\sigma}(u) = \int_{\sigma} -\nabla u \cdot \vec{n}_{K\sigma} d\sigma - \underbrace{\frac{|\sigma|}{|x_K x_L|} (u(x_K) - u(x_L))}_{\text{Constant si}}$$

$$-\nabla u(x) \cdot \vec{n}_{K\sigma} = -\frac{d}{ds} u(x + s \vec{n}_{K\sigma})$$



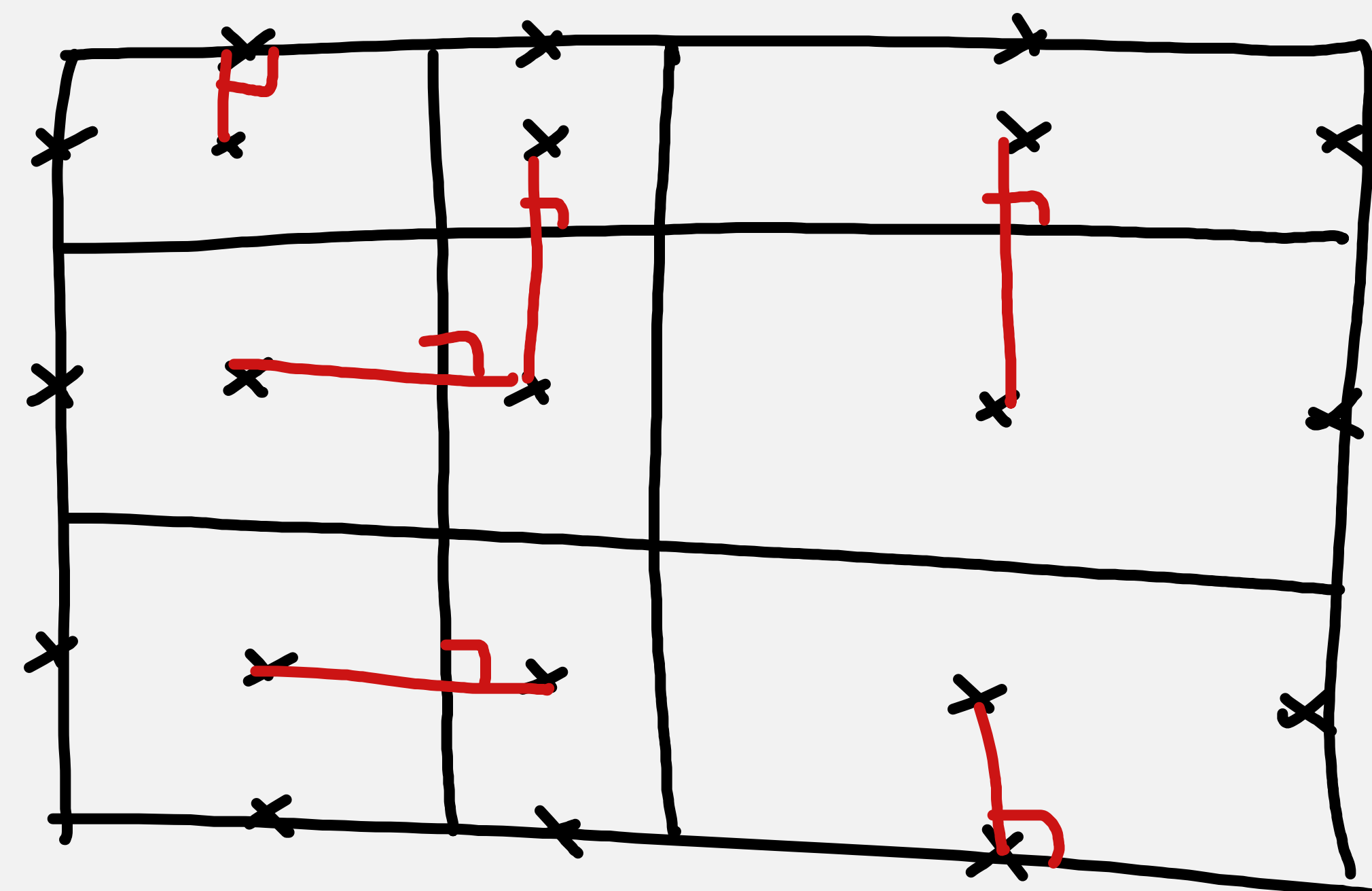
$$x_K x_L \parallel \vec{n}_{K\sigma}$$

$$\Leftrightarrow \sigma \perp x_K x_L$$

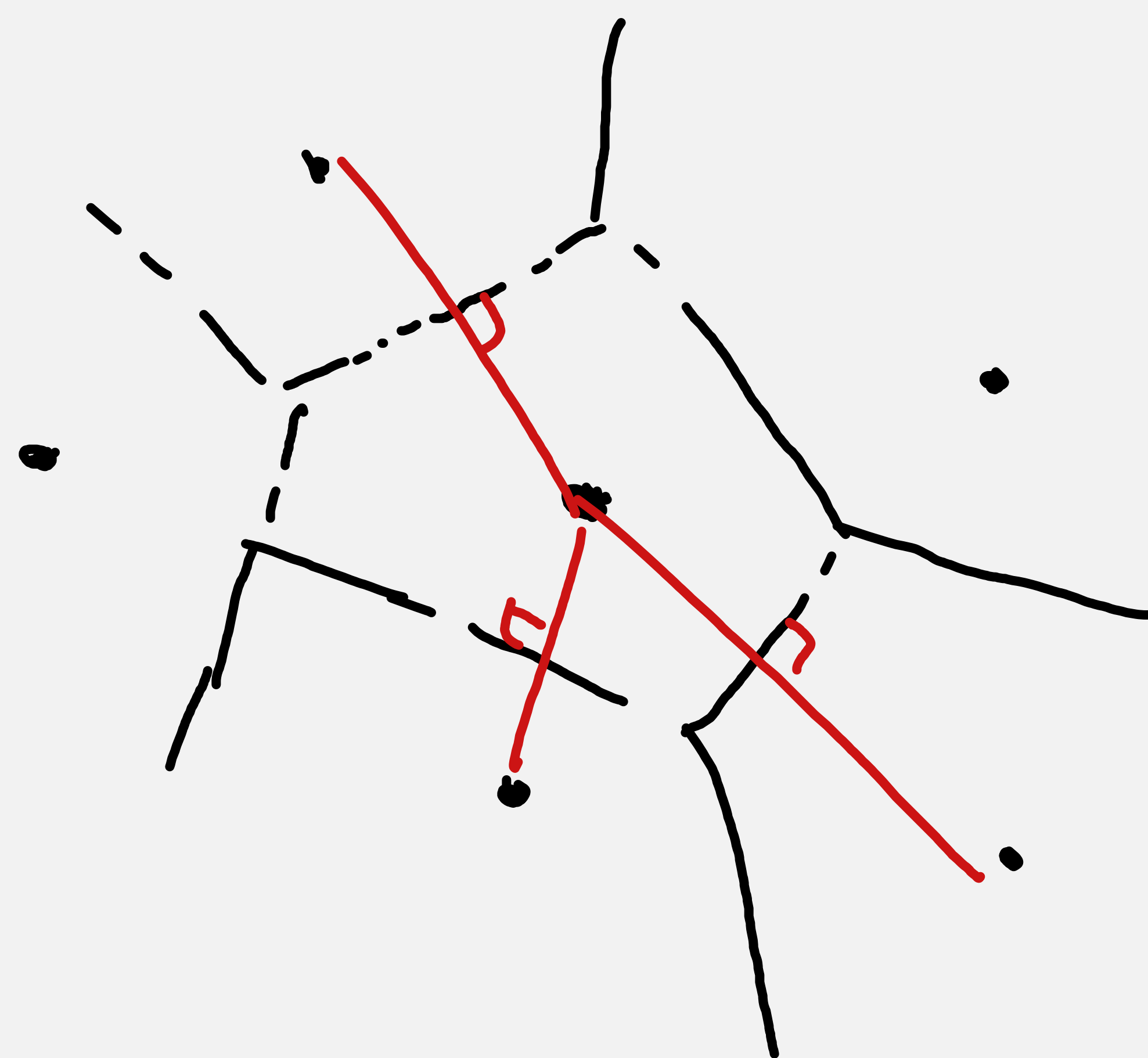
$$|x_K x_L| = \text{dist}(x_K, x_L)$$

# Exemples de maillages orthogonaux :

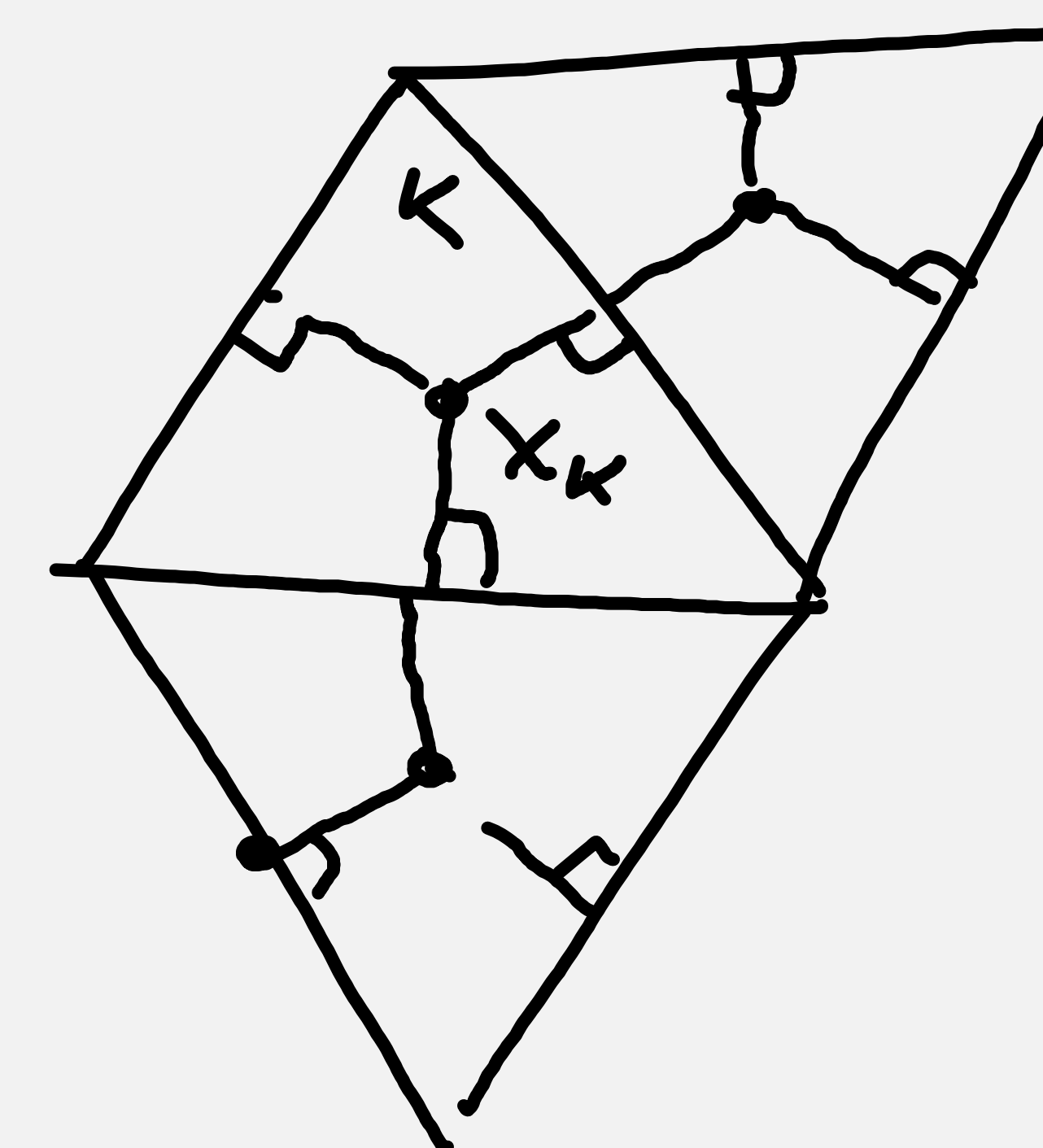
Cartésien



Voronoi

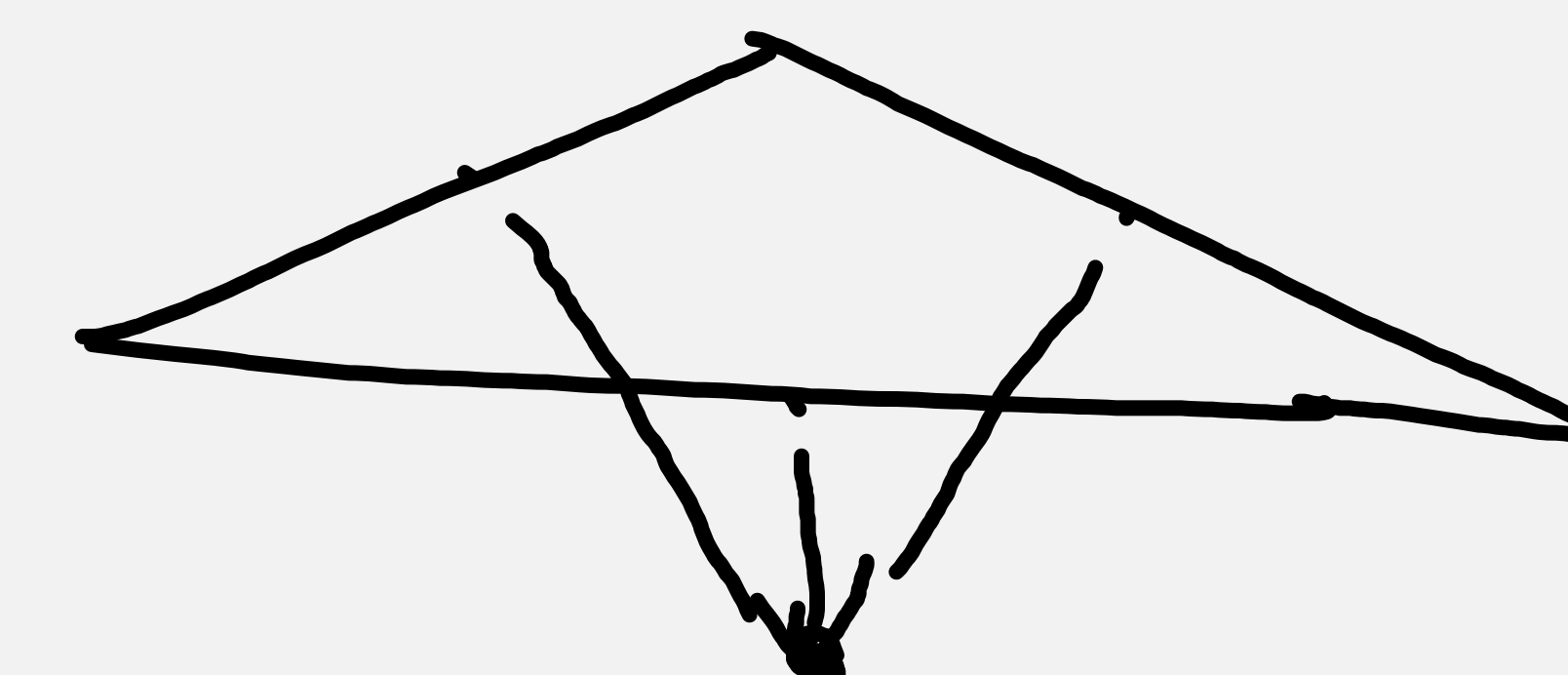


triangulaire



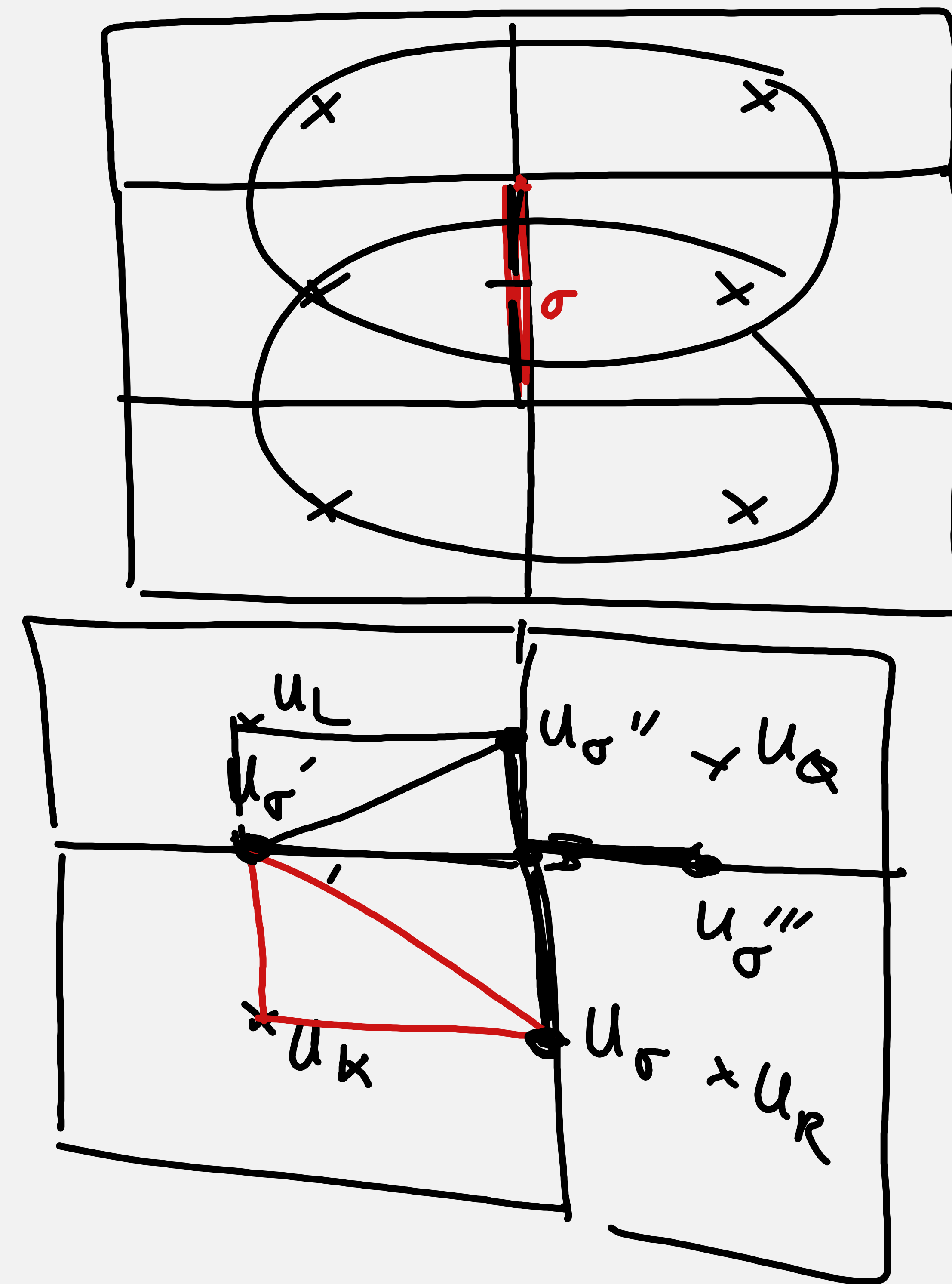
$x_k$  : intersection des médianes.

ok si angle aigus





Schémas MpFA "Multi-point flux approximation"



Exercice : extension du schéma TPFA à l'équation  
parabolique :

$$\begin{cases} \partial_t u(x,t) - \Delta u(x,t) = f(x,t) & \text{sur } \Omega \times (0,T) \\ u(x,0) = u^0(x) & x \in \Omega \\ u(x,t) = 0 & \text{sur } \partial\Omega \times (0,T) \end{cases}$$

Question 1 : écrire le schéma VF semi-diskrétisé en espace (continu en temps)  
avec le flux TPFA

Question 2 : Écrire le schéma VF en espace et Euler implicite en temps

$$\int_K \partial_t u \, dx + \int_K \operatorname{Div}(-\nabla u) \, dx = \int_K f \, dx$$

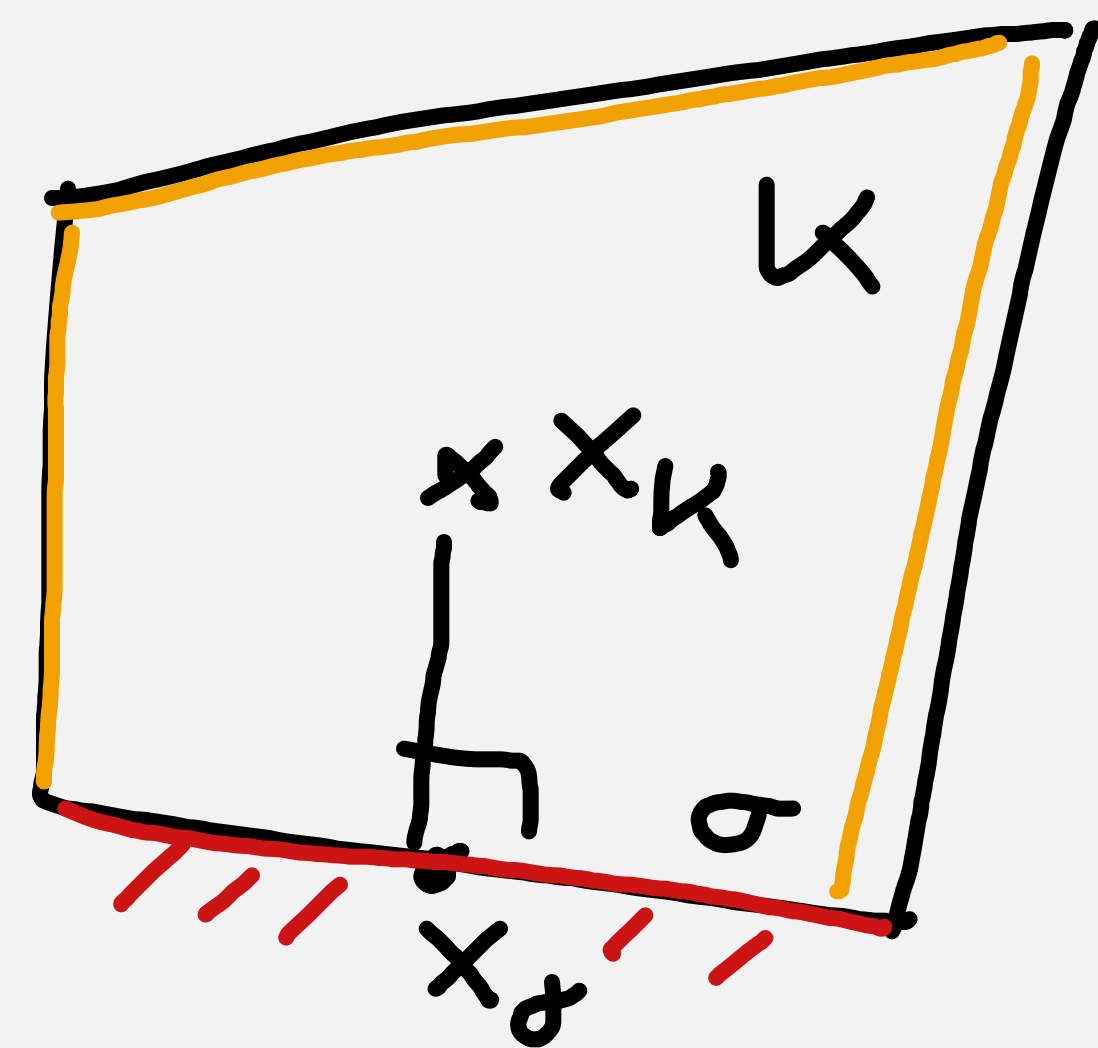
$$\frac{d}{dt} \int_K u(x) \, dx + \underbrace{\sum_{\sigma \in F_K} \left( \int_{\sigma} -\nabla u \cdot \vec{n}_{K\sigma} \, d\sigma \right)}_{\text{flux sur } \sigma \text{ sortant de } K} = \int_K f(x, t) \, dx$$

discretisation :

$$\begin{cases} u_h(t) \in V_h \\ u_h(x, t) = \underline{u_K(t)} \text{ pour } x \in K \end{cases}$$

$$\begin{cases} |K| \frac{d}{dt} u_K(t) + \sum_{\sigma \in F_K} \underline{\bar{T}_{K\sigma}(u_h(t))} = \int_K f(x, t) \, dx \quad \forall K \in \mathcal{M}_h \quad \forall t \in (0, T) \\ u_K(0) = \frac{1}{|K|} \int_K u^0(x) \, dx \quad \forall K \in \mathcal{M}_h \end{cases}$$





$$|K| \frac{d}{dt} u_K(t) + \sum_{\substack{\sigma \in F_K \cap F_h^{\text{int}} \\ \sigma = K|L}} | \sigma | \frac{u_K(t) - u_L(t)}{|x_K x_L|} + \sum_{\substack{\sigma \in F_K \cap F_h^{\text{ext}} \\ \sigma = K| \cdot}} | \sigma | \frac{(u_K(t) - 0)}{|x_K x_\sigma|} = \int_K f(x,t) dx$$

$$u_K(0) = \frac{1}{|K|} \int_K u^0(x) dx \quad \forall K \in \mathcal{M}_h$$

Question: rajouter la discrétisation en temps d'Euler implicite

$$u_K^n = u_K(t^n)$$

$$\left[ \frac{1}{\Delta t^n} \int_{t^{n-1}}^{t^n} |K| \frac{du_K(t)}{dt} dt \right] + \frac{1}{\Delta t^n} \int_{t^{n-1}}^{t^n} \left( \sum_{\sigma \in F_K} \bar{F}_{K\sigma}(u_h(t)) - \int_K f(x,t) dx \right) dt$$

$$\left[ \frac{|K| (u_K^n - u_K^{n-1})}{\Delta t^n} + \sum_{\sigma \in F_K} \bar{F}_{K\sigma}(u_h^n) = \int_K f(x, t^n) dx \right]$$

Schéma d'Euler implicite

$$|K| \frac{u_K^n - u_K^{n-1}}{\Delta t^n} + \sum_{\substack{\sigma=KL \\ \in F_K \cap F_h^{\text{int}}}} \frac{|\sigma|}{|x_K x_L|} (u_K^n - u_L^n) + \sum_{\substack{\sigma=KL \\ \in F_K \cap F_h^{\text{ext}}}} \frac{|\sigma|}{|x_K x_\sigma|} (u_K^n - 0) = \int_K f(x, t^n) dx$$

$$u_K^0 = \frac{1}{|K|} \int_K u^0(x) dx \quad \forall K \in \mathcal{M}_\ell \quad \forall n = 1, \dots, m$$